

چکیده

در این مقاله، با استفاده از یک روش احتمالاتی به انتخاب و مقیاس‌سازی بهینه‌ی شتاب‌نگاشت‌های موردنیاز در تحلیل دینامیکی تاریخچه‌ی زمانی پرداخته شده است. هدف اصلی این تحقیق، بررسی کارایی این روش در حداقل نمودن خطأ و پراکندگی پاسخ‌های غیرخطی سازه‌ای و همچنین مقایسه‌ی این روش با روش آئین نامه‌ی لرزه‌ای ایران است. روش استفاده شده در این مقاله استفاده از ترکیب عددی و لحظه نمودن زمان تناوب و ضربی رفتار سازه می‌باشد. در این روش بهینه‌ترین شتاب‌نگاشت‌ها انتخاب و مقیاس‌سازی آن‌ها به گونه‌ای انجام می‌گیرد که ضمن حداقل شدن پراکندگی پاسخ‌های غیرخطی، میانگین پاسخ‌های خطی نیز بر طیف زلزله طرح منطبق شده و ماهیت لرزه‌ای شتاب‌نگاشت‌ها حفظ شود. بررسی نتایج تحلیل تاریخچه‌ی زمانی قاب‌های فولادی چند درجه آزادی و مقدار عددی پراکندگی پاسخ‌های سازه‌ای نسبت به پاسخ متوسط، نشان‌دهنده‌ی کارایی این روش در کاهش پراکندگی پاسخ‌های سازه‌ای در هر دو ناحیه‌ی خطی و غیرخطی در مقایسه با روش آئین نامه‌ی لرزه‌ای ایران (استاندارد ۲۸۰۰) است. بر اساس تحلیل‌های انجام شده در این تحقیق، نتایج پاسخ‌های لرزه‌ای روش احتمالاتی در مقایسه با نتایج حاصل از آئین نامه‌ی لرزه‌ای ایران دارای پراکندگی کمتری بوده و استفاده از پاسخ متوسط حاصل از آن می‌تواند بیانگر اثر واقعی زلزله در سازه‌ها باشد.

کلمات کلیدی: شتاب‌نگاشت، تاریخچه زمانی شتاب، تحلیل دینامیکی غیرخطی، انتخاب و مقیاس‌سازی، طیف پاسخ، زلزله طرح

داداشت تحقیقی

انتخاب و مقیاس‌سازی بهینه‌ی

شتاب‌نگاشت‌ها

برای تحلیل دینامیکی غیرخطی سازه‌ها

حمدید نظری

دانش‌آموخته مهندسی سازه، دانشگاه ملایر

جلال اکبری (نویسنده مسؤول)

استادیار، گروه مهندسی عمران، دانشگاه ملایر،
akbari@malayeru.ac.ir

۱- مقدمه

شتاب‌نگاشت‌ها و روش مقیاس‌سازی آن‌ها وابسته است. از این رو انتخاب و مقیاس‌سازی شتاب‌نگاشت‌ها یک بحث مهم و جدی در مهندسی سازه و زلزله است که در چهار دهه‌ی اخیر بسیار مورد توجه بوده است. هدف مشترک تمامی مطالعات انجام شده در زمینه‌ی انتخاب و مقیاس‌سازی، کاهش پراکندگی در نتایج تحلیل دینامیکی تاریخچه‌ی زمانی و قابل اطمینان ساختن پاسخ‌های سازه‌ای می‌باشد. گام اول انتخاب شتاب‌نگاشت‌ها است که باید با توجه به مشخصات لرزه‌ای ساختگاه و طرح موردنظر انجام شود. از جمله مشخصات مهم و مؤثر در انتخاب شتاب‌نگاشت‌ها می‌توان به بزرگاً، فاصله از رومرکز^۱، نوع خاک و سازوکار گسل اشاره کرد که تمامی مطالعات بر اهمیت در

به منظور بررسی عملکرد لرزه‌ای سازه‌های موجود و طراحی لرزه‌ای سازه‌های مقاوم در برابر زلزله، باید نیروی ناشی از زلزله با روشنی مناسب به سازه اعمال شده و با انجام تحلیل غیرخطی پاسخ‌های لرزه‌ای سازه محاسبه شوند. روش تحلیل دینامیکی تاریخچه‌ی زمانی با اثر دادن شتاب زمین به صورت تابعی از زمان در تراز پایه‌ی ساختمان، واقعی ترین رفتار را از وقوع زلزله شبیه‌سازی می‌کند و به عنوان دقیق‌ترین روش در این زمینه شناخته می‌شود. این روش نیازمند تعدادی شتاب‌نگاشت زلزله است که پس از انتخاب، برای هماهنگ شدن با طرح موردنظر مقیاس‌سازی شده و به عنوان ورودی تحلیل مورد استفاده قرار گیرند. دقت نتایج حاصل از این روش کاملاً به مشخصات این

کشور ایران، در این مقاله ضمن استفاده از داده‌های شتاب‌نگاشتی ایران، با انجام مقایسه بین نتایج حاصل از این روش و روش استاندارد ۲۸۰۰ ایران [۸]، دقت روش‌های آئین‌نامه‌ای در زمینه‌ی انتخاب و مقیاس‌سازی شتاب‌نگاشت‌ها بررسی شده است.

۲- روش احتمالاتی نوین

در سال ۲۰۱۲ آی و آکار روشی نوین [۹] در زمینه‌ی انتخاب و مقیاس‌سازی شتاب‌نگاشت‌ها، با هدف کاهش پراکندگی پاسخ‌های لرزه‌ای نسبت به پاسخ متوسط در ناحیه‌ی رفتار غیرخطی ارائه نمودند. این روش با استفاده از ترکیب عددی و بررسی انحراف معیار شتاب‌نگاشت‌ها و در نظر گرفتن تناوب اصلی و ضریب رفتار سازه به انتخاب بهینه‌ترین شتاب‌نگاشت‌ها متناسب با طرح موردنظر و مشخصات سازه می‌پردازد. بر اساس گزارش آی و آکار، روش پیشنهادی نسبت به روش‌های پیشین از دقت بالاتری در ناحیه‌ی رفتار غیرخطی برخوردار است، لیکن بررسی روش خود را برای قاب‌های کوتاه فولادی کوتاه و بلند پرداخته شده است و همچنین مقایسه‌ای کاربردی بین نتایج این روش و روش آئین‌نامه‌ی لرزه‌ای ایران (استاندارد ۲۸۰۰) که مشابه با روش آئین‌نامه‌ی آمریکا [۱۰] می‌باشد، انجام شده است. در ادامه به تشریح روش پیشنهادی در زمینه‌ی انتخاب و مقیاس‌سازی شتاب‌نگاشت‌ها پرداخته می‌شود.

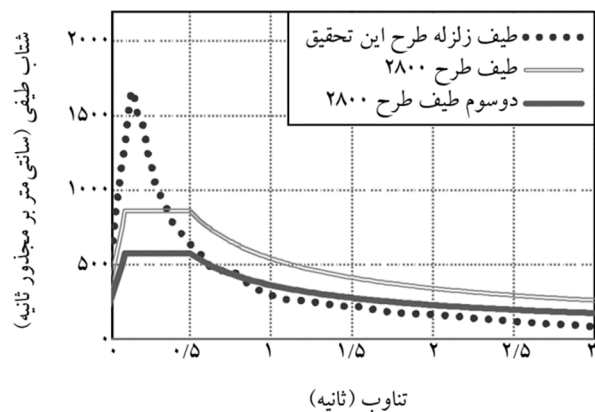
۳- مراحل روش استفاده شده در این تحقیق

۳-۱- زلزله طرح

به طور کلی انتخاب و مقیاس‌سازی شتاب‌نگاشت‌ها در همه‌ی روش‌ها بر اساس یک زلزله طرح انجام می‌شود که بیانگر زلزله‌ی مورد انتظار در یک ساختمان است. انتخاب شتاب‌نگاشت‌ها با توجه به مشخصات لرزه‌ای زلزله طرح انجام

نظرگیری آن‌ها تأکید داشته‌اند. گام دوم مقیاس‌سازی شتاب‌نگاشت‌های انتخاب شده به منظور هماهنگ کردن آن‌ها با طرح موردنظر است. اولین مطالعات [۱] در این زمینه از پیشنهاد شتاب، سرعت و جابه‌جایی در شتاب‌نگاشت‌ها برای مقیاس‌سازی استفاده می‌کردند. مطالعات بعد نشان دادند که مقادیر پیشنهاد نمی‌توانند نمایانگر مقدار انرژی حاصل از یک زلزله باشند و استفاده از آن‌ها باعث پراکندگی زیاد در پاسخ‌های لرزه‌ای می‌شود، لذا استفاده از شدت طیفی که به صورت مساحت زیرمنحنی طیف پاسخ سرعت شتاب‌نگاشت‌ها تعریف می‌شود را با توجه به تناوب و مقاومت سازه، برای مقیاس‌سازی شتاب‌نگاشت‌ها و حداقل نمودن پراکندگی پاسخ‌های سازه‌ای پیشنهاد کردند [۲]. استفاده از شدت طیفی در ناحیه‌ی رفتار خطی، دقت قابل قبولی در پی داشت، لیکن با ورود سازه به ناحیه با رفتار غیرخطی از دقت آن کاسته می‌شد. به همین دلیل استفاده از شتاب طیفی حاصل از طیف پاسخ شتاب‌نگاشت‌ها در تناوب اصلی سازه با هدف بهبود دقت نتایج در ناحیه‌ی رفتار غیرخطی مطرح شد [۳]. استفاده از شتاب طیفی شتاب‌نگاشت‌ها مبنای بیشتر مطالعات بعدی قرار گرفت و تنها سعی شد با ارائه‌ی الگوریتم‌ها و روش‌های جدید و استفاده از شتاب طیفی در بازه‌های تناوبی مختلف و لحاظ نمودن مشخصات سازه‌ای به انتخاب شتاب‌نگاشت‌های بهینه و افزایش دقت پاسخ‌های لرزه‌ای و کاهش پراکندگی آن‌ها نسبت به طرح موردنظر به ویژه در ناحیه‌ی غیرخطی پرداخته شود. از این میان می‌توان به استفاده از الگوریتم ژنتیکی [۴]، انتخاب و مقیاس‌سازی نیمه‌خودکار [۵]، استفاده از طیف طرح CMS [۶] و یا روش مبتنی بر تحلیل بار افزون^۱ (MPA) [۷] اشاره نمود. با توجه به وقوع زلزله‌های شدید و اهمیت احداث سازه‌های شکل پذیر غیرخطی شدن رفتار سازه را بسیار محتمل می‌کند. در این مقاله با استفاده از یک روش احتمالاتی به انتخاب و مقیاس‌سازی شتاب‌نگاشت‌ها پرداخته شده است و میزان کارایی این روش در کاهش پراکندگی پاسخ‌های لرزه‌ای، به ویژه در سازه‌های بلند و ناحیه‌ی رفتار غیرخطی ارزیابی شده است. همچنین با توجه به لرزه‌خیزی

قابل ذکر است که شتاب‌نگاشت‌های استفاده شده در این مقاله از مرکز تحقیقات ساختمان و مسکن [۱۱] تهیه شده‌اند. شکل (۱) نیز طیف زلزله طرح با میانگین بزرگای گشتاوری ۶/۵ و میانگین فاصله از رومرکز ۲۰ کیلومتر برای میرایی ۵ درصد را نشان می‌دهد. همچنین در این شکل طیف طرح استاندارد ۲۸۰۰ نیز آورده شده است.



شکل (۱): طیف زلزله طرح

در شکل (۱) مشاهده می‌شود که طیف زلزله طرح تعریف شده در این تحقیق، مطابقت خوبی با طیف کاهاش یافته استاندارد ۲۸۰۰ در تناوب‌های بیش از ۰/۵ ثانیه دارد. قابل ذکر است که طیف استاندارد ۲۸۰۰ یک طیف عمومی بوده و مشخصات لرزه‌ای مانند بزرگاً و فاصله از رومرکز در آن مبهم است و انتخاب شتاب‌نگاشت‌ها بر اساس آن با ابهام و عدم قطعیت همراه است.

۲-۳- انتخاب شتاب‌نگاشت‌های اولیه

روش احتمالاتی، انتخاب شتاب‌نگاشت‌ها را طی دو مرحله انجام می‌دهد. در مرحله اول تعداد ۲۰ شتاب‌نگاشت اولیه با توجه به مشخصات زلزله طرح انتخاب می‌شود. بدین منظور، محدوده‌ی مجاز برای بزرگای گشتاوری شتاب‌نگاشت‌ها مطابق با روابط ۱ و ۲ در نظر گرفته می‌شود.

$$0.75M_{\text{scenario}} \leq M \leq 1.25M_{\text{scenario}} \quad (1)$$

$$d_{\text{scenario}} - 25\text{km} \leq d \leq d_{\text{scenario}} + 25\text{km} \quad (2)$$

در روابط فوق M بزرگای گشتاوری زلزله طرح، d

می‌شود و همچنین مقیاس سازی شتاب‌نگاشت‌ها به منظور مطابقت با زلزله طرح صورت می‌پذیرد. در روش آی و آکار، زلزله طرح با استفاده از انجام تحلیل خطر لرزه‌ای احتمالاتی (PSHA) در محل احداث سازه تعیین می‌شود که منجر به تهیه‌ی طیف طراحی ویژه با بزرگاً و فاصله از رومرکز مشخص خواهد شد. انجام تحلیل خطر نیازمند بررسی گسل‌های فعال در محدوده‌ی یک ساختگاه و همچنین موجود بودن داده‌های شتاب‌نگاشتی کافی در منطقه‌ی ساختگاه می‌باشد و معمولاً در سازه‌های خاص و با اهمیت بالا انجام می‌شود. لذا در این مقاله با توجه به بررسی سازه‌های ساختمانی متعارف و همچنین کافی نبودن داده‌های شتاب‌نگاشتی به دلیل محدود کردن تحقیق به استفاده از داده‌های لرزه‌ای ایران، از یک طیف میانگین حاصل از زلزله‌های نسبتاً شدید ثبت شده در ایران به عنوان زلزله طرح استفاده شده است. این طیف با استفاده از ۱۱ زوج شتاب‌نگاشت ثبت شده در خاک نوع ۲ با سرعت موج برشی بین ۷۵۰ تا ۳۷۵ متر بر ثانیه و حداقل پیشینه‌ی شتاب ۰/۳ شتاب ثقل و حداقل بزرگای گشتاوری ۴/۵ تهیه شده است. در جدول (۱) مشخصات زلزله‌های استفاده شده برای تعریف زلزله طرح آورده شده است.

جدول (۱): شتاب‌نگاشت‌های استفاده شده برای تعریف زلزله طرح

بیشینه شتاب (سانسی مترا بر مجدد ثانیه)	فاصله از رومرکز (کیلومتر)	بزرگای گشتاوری	زلزله
۸۷۲	۵	۶/۲	ناغان
۸۹۸	۵۴	۷/۲	طبس
۹۳۵	۴۱	۷/۵	آب بر
۱۰۰۶	۱۲	۵/۸	زنگیزان
۶۱۶	۱۱	۶/۰	کریق
۳۶۸	۳۷	۵/۸	حاجی آباد
۷۹۹	۶	۶/۹	بم
۳۳۵	۱۸	۵/۸	قائمیه
۴۲۷	۱۹	۶/۱	ورزقان
۵۳۲	۱۱	۶/۲	ورزقان
۳۳۱	۱۲	۵/۳	ورزقان

این تحقیق برای محاسبه‌ی انحراف معیار هریک از ترکیب‌ها ابتدا یک پارامتر با نام ϵ مطابق با رابطه‌ی (۴) تعریف می‌شود.

$$\epsilon = \ln(PSa_i) - \ln(P\hat{Sa}_i) \quad (4)$$

در این رابطه، $P\hat{Sa}_i$ شتاب طیفی شتاب‌نگاشت آم در تناوب اصلی سازه برای میرایی ۵ درصد است و $P\hat{Sa}_i$ میانگین شتاب طیفی متناظر شتاب‌نگاشت آم در تناوب اصلی سازه است که از معادلات GMPE به دست می‌آید. معادلات GMPE از تحلیل آماری تعداد زیادی شتاب‌نگاشت با بزرگا، فاصله از رومرکز، نوع خاک و سازوکار گسل مختلف در یک منطقه‌ی جغرافیایی به دست می‌آیند و برای تخمین مقادیر میانگین پیشنه شتاب، سرعت و جابه‌جایی و همچنین مقادیر پاسخ‌های طیفی و انجام تحلیل خطر لرزه‌ای در یک ساختگاه مورد استفاده قرار می‌گیرند. در روش احتمالاتی از معادلات GMPE به منظور تعریف سطوح جداگانه برای هریک از شتاب‌نگاشت‌ها استفاده می‌شود تا از مقیاس‌سازی تمامی شتاب‌نگاشت‌ها به یک سطح مشترک اجتناب شده و ماهیت لرزه‌ای آن‌ها حفظ شود. معادلات استفاده شده در این مقاله توسط آکار و بومر [۱۲] به منظور تخمین شتاب طیفی و پیشنه سرعت در مناطق اروپا، مدیترانه و خاورمیانه پیشنهاد شده‌اند. پس از محاسبه‌ی ϵ برای هریک از شتاب‌نگاشت‌ها، انحراف معیار هریک از ترکیب‌ها با استفاده از رابطه‌ی (۵) به دست می‌آید.

$$\sigma = \sqrt{\frac{1}{n-1} \cdot \sum_{i=1}^n (\epsilon - \mu_\epsilon)^2} \quad (5)$$

در این رابطه، n تعداد شتاب‌نگاشت‌های بهینه و برابر با ۱۰ و μ_ϵ میانگین حسابی مقادیر ϵ در هر ترکیب است. رابطه‌ی (۵) برای تمامی ۱۸۴۷۵۶ ترکیب محتمل محاسبه شده و ترکیبی که کمترین مقدار انحراف معیار را نتیجه دهد، ترکیب بهینه و شامل شتاب‌نگاشت‌های مناسب برای تحلیل سازه خواهد بود. با توجه به تعداد بسیار زیاد ترکیب‌ها و زمان بر بودن محاسبات انحراف معیار، انتخاب ترکیب بهینه نیازمند استفاده از رایانه است. بدین منظور برنامه‌ای کاربردی در محیط برنامه‌نویسی MATLAB [۱۳] نوشته شده است که با دریافت شتاب‌نگاشت‌های اولیه،

بزرگای گشتاوری شتاب‌نگاشت‌ها، $d_{scenario}$ فاصله از رومرکز زلزله طرح و d فاصله از رومرکز شتاب‌نگاشت‌ها می‌باشد. قابل ذکر است که تعداد ۲۰ داده بر اساس پایدار شدن پراکندگی و حداقل شدن زمان محاسبات انتخاب شده است. با توجه به این روابط، در این مقاله ۲۰ شتاب‌نگاشت ثبت شده در خاک نوع دو انتخاب شده و مورد استفاده قرار گرفته است. قابل ذکر است که در این مقاله از پارامتر سازوکار گسل با توجه به گزارش نشدن این پارامتر توسط شبکه شتاب‌نگاری ایران در فرآیند انتخاب شتاب‌نگاشت‌ها استفاده نشده است.

۳-۳- انتخاب شتاب‌نگاشت‌های بهینه

در مرحله‌ی دوم انتخاب شتاب‌نگاشت‌ها، تعداد ۱۰ شتاب‌نگاشت بهینه از میان ۲۰ شتاب‌نگاشت اولیه برای مقیاس‌سازی و انجام تحلیل دینامیکی تاریخچه‌ی زمانی انتخاب می‌شوند. این تعداد با بررسی سایر تحقیقات انجام شده در این زمینه و همچنین رعایت حداقل‌های آینده‌ای انتخاب شده است. روش آی و آکار از یک ترکیب عددی برای انتخاب شتاب‌نگاشت‌های بهینه استفاده می‌کند. اگر تعداد شتاب‌نگاشت‌های اولیه را با k و تعداد شتاب‌نگاشت‌های بهینه را با n نشان دهیم، تعداد ترکیبات محتمل بین k و n که با C نشان داده می‌شود، بدون لحاظ کردن ترکیبات تکراری از رابطه‌ی (۳) به دست خواهد آمد.

$$C(k, n) = \frac{k!}{n!(k-n)!} \quad 0 \leq n \leq k \quad (3)$$

با توجه به رابطه‌ی (۳)، تعداد ترکیبات محتمل بین شتاب‌نگاشت‌های اولیه و شتاب‌نگاشت‌های بهینه برابر با ۱۸۴۷۵۶ ترکیب خواهد بود؛ یعنی از میان ۲۰ شتاب‌نگاشت اولیه تعداد ۱۸۴۷۵۶ ترکیب شامل ۱۰ شتاب‌نگاشت بدون تکرار قابل جداسازی است. پس از محاسبه‌ی تعداد ترکیبات محتمل باید ترکیب بهینه شناسایی شده و شتاب‌نگاشت‌های موجود در آن به عنوان انتخاب نهایی مقیاس‌سازی شوند. ترکیب بهینه ترکیبی است که دارای حداقل انحراف معیار باشد. انحراف معیار نشان‌دهنده‌ی پراکندگی شتاب‌نگاشت‌های موجود در هر ترکیب است و حداقل بودن آن باعث کاهش خطای پاسخ‌های سازه‌ای خواهد شد. در

این نتیجه رسیدند که استفاده از پیشنه سرعت در شتاب‌نگاشت‌ها برای مقیاس‌سازی در ناحیه‌ی رفتار غیرخطی نتایج مطلوبی را به همراه داشته است، از این‌رو با تحلیل آماری ۲۶۰ شتاب‌نگاشت و استفاده از پیشنه سرعت پارامتری جدید مطابق با رابطه (۸) تعریف کردند که ترکیبی از رابطه‌ی (۴) و پیشنه سرعت می‌باشد.

$$\varepsilon_I = C1 * \varepsilon + C2 * \varepsilon_{PGV} + C3 \quad (8)$$

در رابطه‌ی (۸)، ε_{PGV} اختلاف لگاریتمی پیشنه سرعت است و از رابطه‌ی (۹) حساب می‌شود.

$$\varepsilon_{PGV} = \ln(PGV_i) - \ln(\hat{PGV}_i) \quad (9)$$

در رابطه‌ی (۹)، PGV_i پیشنه سرعت در شتاب‌نگاشت آم و \hat{PGV}_i میانگین پیشنه سرعت برای شتاب‌نگاشت آم است که از معادلات GMPE استخراج می‌شود. ضرایب $C1$, $C2$ و $C3$ تابع زمان تناوب اصلی و ضریب رفتار سازه بوده و از رابطه‌ی (۱۰) محاسبه می‌شوند.

$$\begin{cases} C1 = 1 - 0.72 \ln(R) + 0.7T \ln(R) - 0.21T^2 \ln(R) \\ C2 = 0.81 \ln(R) - 0.78T \ln(R) + 0.23T^2 \ln(R) \\ C3 = 0.22 \ln(R) - 0.4T \ln(R) + 0.15T^2 \ln(R) \end{cases} \quad (10)$$

در این روابط، T تناوب اصلی سازه بر حسب ثانیه و R ضریب رفتار سازه است. با استفاده از رابطه‌ی (۸) به جای رابطه‌ی (۴)، می‌توان شتاب‌نگاشت‌ها و ضرایب مقیاس بهینه را برای رفتار غیرخطی به دست آورد. برنامه‌ی نوشته شده در محیط MATLAB محاسبات را به صورت کامل برای رفتار غیرخطی نیز مشابه با رفتار خطی انجام داده و شتاب‌نگاشت‌های بهینه با کمترین انحراف میزان رفتار می‌باشند. این روش می‌تواند برای هریک از شتاب‌نگاشت‌های بهینه، ضرایب مقیاس را نیز برای هریک از شتاب‌نگاشت‌های بهینه محاسبه می‌کند. این ضرایب مقیاس باید در هریک از دو مؤلفه‌ی افقی شتاب‌نگاشت‌ها ضرب شده و در تحلیل دینامیکی تاریخچه زمانی مورد استفاده قرار گیرند.

۴- مدل‌های سازه‌ای

به منظور بررسی نتایج حاصل از روش آی و آکار و همچنین مقایسه با روش استاندارد ۲۸۰۰ ایران، قاب‌های خمشی فولادی در حالت دو بعدی مدل‌سازی و تحلیل شده‌اند. با توجه به وابستگی

تمامی ترکیبات محتمل را تعیین کرده و انحراف معیار را برای هر ترکیب محاسبه نموده و در نهایت انحراف معیار حداقل و ترکیب بهینه را استخراج می‌کند.

۳-۴- محاسبه‌ی ضرایب مقیاس

پس از انتخاب ۱۰ شتاب‌نگاشت بهینه، ضرایب مقیاس برای هماهنگ کردن این شتاب‌نگاشت‌ها با زلزله طرح محاسبه می‌شوند. در روش آی و آکار برای هریک از شتاب‌نگاشت‌ها بهینه ضریب مقیاس به صورت جداگانه محاسبه می‌شود. برای ایجاد هماهنگی دقیق بین میانگین شتاب‌نگاشت‌ها و زلزله طرح ابتدا پارامتر θ که اساس مقیاس‌سازی نامیده می‌شود طبق رابطه‌ی (۶) تعریف می‌شود.

$$\theta = \ln(P\hat{Sa}_{scenario}) - \ln\left(\sum_{i=1}^n \exp(\varepsilon_i)\right) + \ln(n) \quad (6)$$

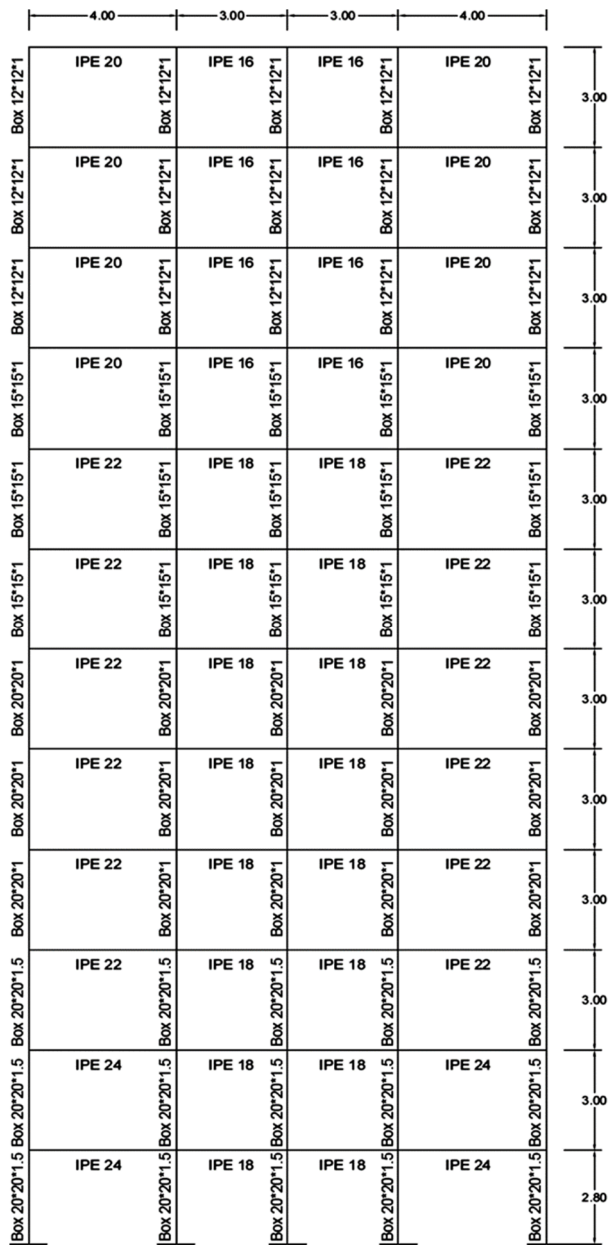
در رابطه‌ی (۶)، n تعداد شتاب‌نگاشت‌های بهینه و برابر با ۱۰ است. $P\hat{Sa}_{scenario}$ شتاب طیفی زلزله طرح در زمان تناوب اصلی سازه است و از طیف زلزله طرح استخراج می‌شود و ε از رابطه‌ی (۴) قابل محاسبه می‌باشد. پس از محاسبه پارامتر θ ضرایب مقیاس برای هریک از شتاب‌نگاشت‌ها با استفاده از رابطه‌ی (۷) محاسبه می‌شوند.

$$\lambda_i = \frac{\exp(\theta + \varepsilon_i)}{PSa_i} \quad (7)$$

در این رابطه، PSa_i شتاب طیفی شتاب‌نگاشت آم در تناوب اصلی سازه و برای میرایی ۵ درصد است و ε از رابطه‌ی (۴) به دست می‌آید. برنامه‌ی نوشته شده در MATLAB علاوه بر انتخاب شتاب‌نگاشت‌های بهینه، ضرایب مقیاس را نیز برای هریک از شتاب‌نگاشت‌های بهینه محاسبه می‌کند. این ضرایب مقیاس باید در هریک از دو مؤلفه‌ی افقی شتاب‌نگاشت‌ها ضرب شده و در تحلیل دینامیکی تاریخچه زمانی مورد استفاده قرار گیرند.

۳-۵- توسعه روش برای رفتار غیرخطی

آی و آکار بیان کردند که استفاده از رابطه‌ی (۴) فقط در ناحیه رفتار خطی کارایی دارد و با ورود سازه به ناحیه رفتار غیرخطی از دقت آن کاسته شده و باعث افزایش پراکندگی در پاسخ‌های حاصل از شتاب‌نگاشت‌ها می‌گردد. لذا با بررسی مطالعات پیشین به

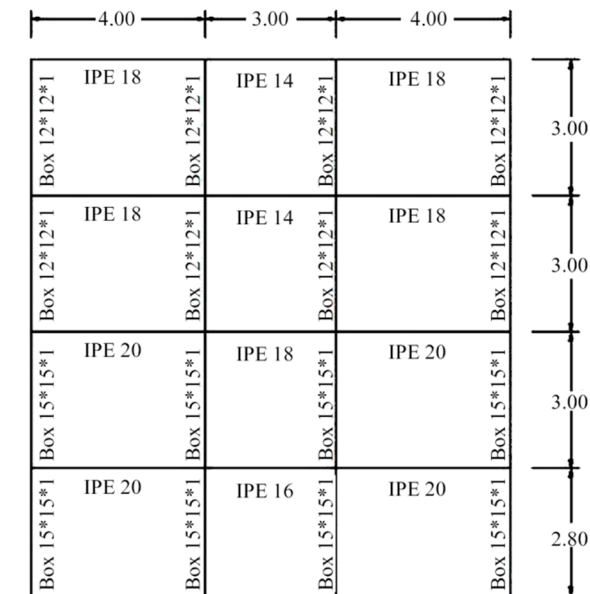


شکل (۳): قاب دوازده طبقه و چهار دهانه

در جدول (۲) مشاهده می شود که در قاب چهار طبقه ۸۹ درصد از جرم در مود ارتعاشی اول مشارکت دارد و می توان قاب را کوتاه در نظر گرفت، اما در قاب دوازده طبقه تنها ۷۰ درصد از جرم در مود ارتعاشی اول مشارکت دارد و اثر مشارکت مودهای ارتعاشی بالا نیز به چشم می خورد و می توان قاب را بلند فرض نمود. انتخاب و مقیاس سازی ستانداره ای ایران برای هر دو قاب انجام شده و همچنین روش استاندارد ۲۸۰۰ دینامیکی تاریخچه زمانی قاب ها صورت گرفته و نتایج مورد تحلیل دینامیکی تاریخچه زمانی قاب ها با نتایج مورد

روش آی و آکار به ضربی رفتار، با انجام تحلیل بار افزون ضربی رفتار قاب ها تعیین شده و در انتخاب ستاندارهای بهینه مورد استفاده قرار گرفته است. تحلیل بار افزون و همچنین تحلیل دینامیکی تاریخچه زمانی با استفاده از نرم افزار تحلیل غیرخطی SeismoStruct [۱۴] انجام شده و مدل منگو توپیتو^۵ برای توصیف رفتار غیرخطی مصالح فولادی به کار برده شده است. از دو قاب خمسی فولادی با حد شکل پذیری متوسط و تعداد طبقات ۴ و ۱۲ طبقه به منظور بررسی سازه های کوتاه و بلند استفاده شده است. طراحی قاب ها با استفاده از نرم افزار ETABS [۱۵]، آئین نامه UBC97 [۱۶]، روش تنش مجاز و طیف زلزله طرح تعریف شده در بخش های قبل انجام شده است. شکل های (۲) و (۳) نتایج طراحی قاب ها را نشان می دهند.

با توجه به نتایج طراحی و تحلیل بار افزون، زمان تناوب اصلی، ضربی مشارکت جرم در مود ارتعاشی اول و ضربی رفتار قاب های ۴ و ۱۲ طبقه به دست آمده و در جدول (۲) آورده شده اند.



شکل (۲): قاب چهار طبقه و سه دهانه

جدول (۲): مشخصات قاب های چهار طبقه و دوازده طبقه

قاب	زمان تناوب اصلی (ثانیه)	جرم در مود اول (%)	ضربی مشارکت رفتار	ضربی رفتار
۴ طبقه	۱/۲	۸۹	۷/۱۲	
۱۲ طبقه	۲/۷۵	۷۰	۶/۵۱	

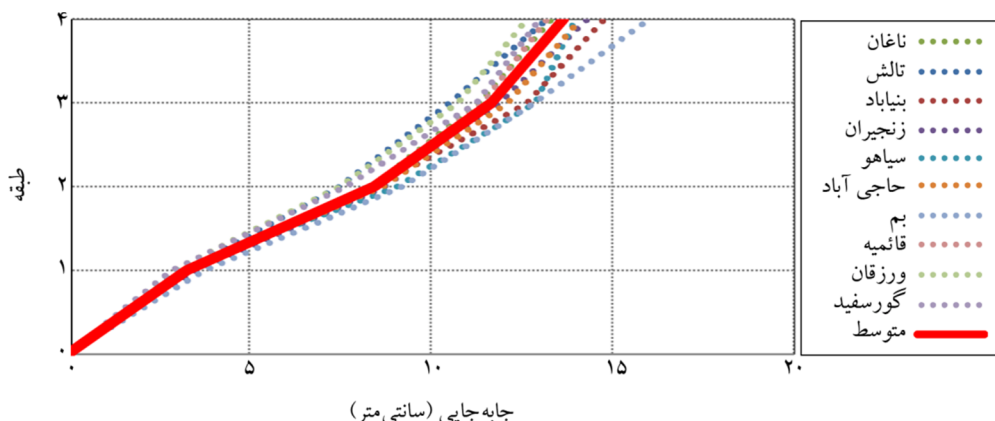
شکل‌های (۴) و (۵) به ترتیب حداکثر جابه‌جایی طبقات حاصل از روش‌های احتمالاتی و استاندارد ۲۸۰۰ ایران نشان شده است.

جدول (۳): نتایج انتخاب و مقیاس‌سازی برای قاب چهار طبقه با استفاده از روش احتمالاتی

ضریب مقیاس	فاصله از رومرکز (کیلومتر)	بزرگای گشتاوری	زلزله
۱/۱۳	۵	۶/۲	ناغان
۲/۸۹	۱۴	۶/۱	تالش
۱/۹۰	۸	۶/۲	بنیاباد
۳/۶۵	۱۲	۵/۸	زنگریان
۲/۱۵	۳۷	۵/۴	سیاهو
۳/۵۸	۲۷	۶/۰	حاجی‌آباد
۰/۳۹	۶	۶/۹	بم
۴/۵۶	۱۸	۵/۸	قائمه
۱/۴۳	۱۱	۶/۲	ورزان
۸/۱۶	۳۰	۵/۷	گورسفید

جدول (۴): نتایج انتخاب و مقیاس‌سازی برای قاب چهار طبقه با استفاده از روش استاندارد ۲۸۰۰ ایران

ضریب مقیاس	فاصله از رومرکز (کیلومتر)	بزرگای گشتاوری	زلزله
۲/۷۰	۸	۶/۲	بنیاباد
۱/۱۰	۴۱	۷/۵	آب برد
۳/۲۰	۳۷	۵/۴	سیاهو
۱/۹۰	۳۷	۵/۸	حاجی‌آباد
۵/۳۰	۲۷	۶/۰	حاجی‌آباد
۷/۲۰	۴۵	۶/۹	محمدآباد
۵/۱۰	۴۳	۵/۷	سرگز



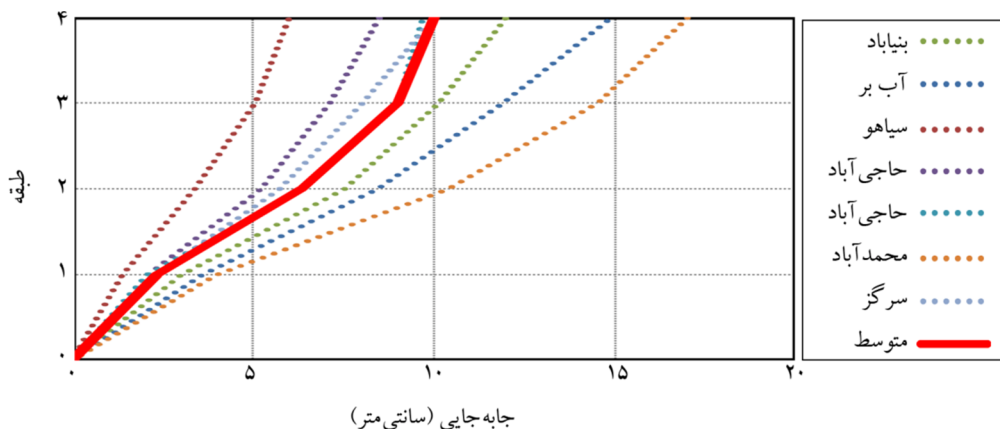
شکل (۴): جابه‌جایی قاب چهار طبقه (روش احتمالاتی)

ارزیابی قرار گرفته است که در بخش بعد به آن پرداخته خواهد شد.

۵- تحلیل نتایج

به منظور بررسی نتایج حاصل از تحلیل تاریخچه زمانی قاب‌ها با استفاده از شتاب‌نگاشت‌های انتخاب شده و مقیاس شده با دو روش مذکور، مقادیر پاسخ‌های سازه‌ای شامل حداکثر و متوسط جابه‌جایی طبقات، جابه‌جایی نسبی میان طبقه‌ای، برش پایه و همچنین پراکندگی آن‌ها نسبت به پاسخ متوسط، معیار ارزیابی و مقایسه‌ی بین روش‌ها قرار گرفته است. در جداول (۳) و (۴) به ترتیب شتاب‌نگاشت‌ها و ضرایب مقیاس حاصل از روش‌های احتمالاتی و استاندارد ۲۸۰۰ ایران آورده شده است.

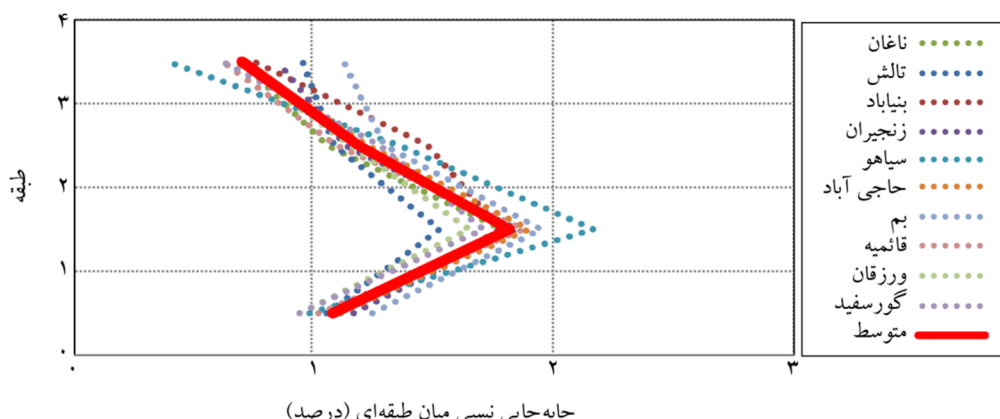
در جداول (۳) و (۴) مشاهده می‌شود که روش احتمالاتی از ۱۰ شتاب‌نگاشت و روش استاندارد ۲۸۰۰ از هفت شتاب‌نگاشت برای تعیین پاسخ متوسط استفاده می‌کند. انتخاب شتاب‌نگاشت‌ها در روش احتمالاتی طی دو مرحله و بر اساس انحراف معیار، زمان تناوب و ضریب رفتار سازه انجام می‌شود. در مقابل، روش استاندارد ۲۸۰۰ انتخاب شتاب‌نگاشت‌های رادر یک مرحله و تنها بر اساس زمان حرکت شدید و به صورت کامل تصادفی انجام می‌دهد. قابل ذکر است که ضابطه‌ی زمان حرکت شدید در استاندارد ۲۸۰۰ به انتخاب نشدن زلزله‌های شدید مثل زلزله‌ی بم منجر می‌شود، زیرا این زلزله‌های دارای زمان حرکت شدید کوتاهی است اما دامنه‌ی طیفی شدید و انرژی بسیار زیادی دارد که به دلیل فاصله‌ی کم از رومرکز است. در



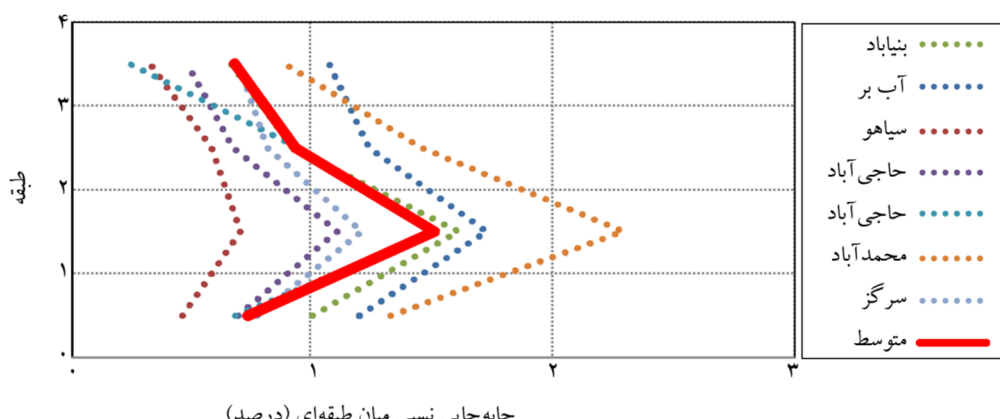
شکل (۵): جابه‌جایی قاب چهار طبقه (روش استاندارد ۲۸۰۰)

پراکندگی نتایج حاصل از روش احتمالاتی است و نشان‌دهنده‌ی دقت بسیار پایین روش استاندارد ۲۸۰۰ است که نتایج تحلیل تاریخچه زمانی را با عدم قطعیت زیادی همراه می‌سازد. در شکل‌های (۶) و (۷) به ترتیب حداکثر جابه‌جایی نسبی میان‌طبقه‌ای حاصل از روش‌های احتمالاتی و استاندارد ۲۸۰۰ ایران نشان شده است.

مقدار جابه‌جایی متوسط حاصل از روش احتمالاتی ۳۵ درصد بیشتر از روش استاندارد ۲۸۰۰ است و با توجه به جابه‌جایی حاصل از زلزله‌ی محمدآباد در روش استاندارد ۲۸۰۰، به نظر می‌رسد که متوسط پاسخ حاصل از این روش بسیار دست پایین است. پراکندگی نتایج حاصل از روش استاندارد ۲۸۰۰ تقریباً چهار برابر



شکل (۶): جابه‌جایی نسبی قاب چهار طبقه (روش احتمالاتی)



شکل (۷): جابه‌جایی نسبی قاب چهار طبقه (روش استاندارد ۲۸۰۰)

اختلاف برش پایه حاصل از زلزله‌ی بم و متوسط برش پایه حدود ۱۳ درصد است. همچنین مقدار پراکندگی برش پایه در روش استاندارد ۲۸۰۰ ۲۸۰۰ چهار برابر روش احتمالاتی است. مشابه با قاب چهار طبقه، در ادامه نتایج تحلیل قاب دوازده طبقه نیز آورده شده است. در جداول (۵) و (۶) به ترتیب شتاب‌نگاشت‌ها و ضرایب مقیاس حاصل از روش‌های احتمالاتی و استاندارد ۲۸۰۰ ایران آورده شده است.

جدول (۵): نتایج انتخاب و مقیاس‌سازی برای قاب دوازده طبقه با استفاده از روش احتمالاتی

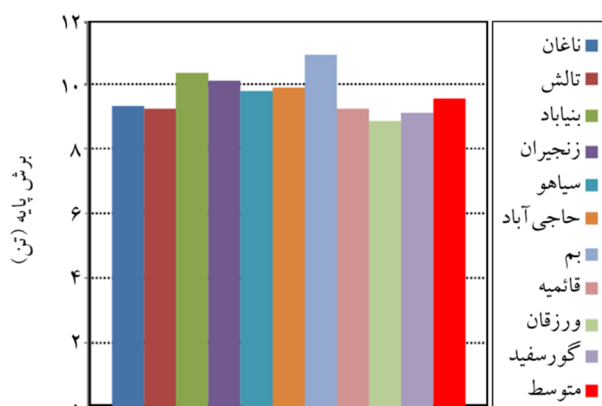
ضریب مقیاس	فاصله از رومرکز (کیلومتر)	بزرگای گستاوری	زلزله
۰/۹۷	۵	۶/۲	ناغان
۳/۶۰	۱۴	۶/۱	تالش
۱/۷۲	۸	۶/۲	بنیاباد
۴/۳۶	۱۲	۵/۸	زنگیران
۱۲/۷۴	۳۷	۵/۸	حاجی‌آباد
۰/۲۹	۶	۶/۹	بم
۱۳/۳۸	۴۳	۵/۷	سرگز
۱/۲۵	۱۱	۶/۲	ورزقان
۶/۱۴	۱۲	۵/۳	ورزقان
۷/۹۳	۳۰	۵/۷	گورسفید

جدول (۶): نتایج انتخاب و مقیاس‌سازی برای قاب دوازده طبقه با استفاده از روش استاندارد ۲۸۰۰ ایران

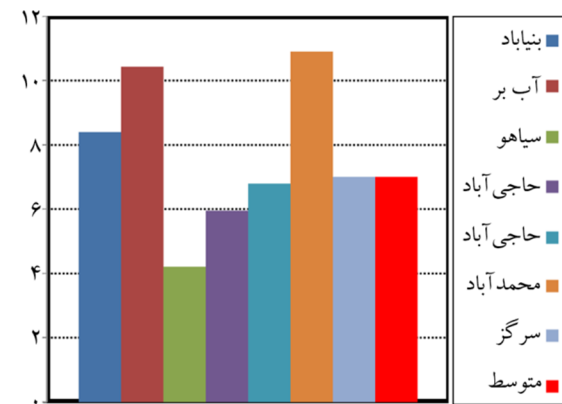
ضریب مقیاس	فاصله از رومرکز (کیلومتر)	بزرگای گستاوری	زلزله
۲/۹۰	۸	۶/۲	بنیاباد
۱/۲۰	۴۱	۷/۵	آب بر
۳/۵۰	۳۷	۵/۴	سیاهو
۲/۱۰	۳۷	۵/۸	حاجی‌آباد
۵/۶۰	۲۷	۶/۰	حاجی‌آباد
۷/۶۰	۴۵	۶/۹	محمدآباد
۵/۴۰	۴۳	۵/۷	سرگز

مشاهده می‌شود که در روش احتمالاتی، شتاب‌نگاشت‌ها و ضرایب مقیاس تغییر کرده و بهینه شده‌اند. لیکن در روش استاندارد ۲۸۰۰ شتاب‌نگاشت‌ها نسبت به قاب چهار طبقه تغییری

روش احتمالاتی جایه‌جایی نسبی را حدود ۲۰ درصد بیشتر از استاندارد ۲۸۰۰ برآورد می‌کند. با مقایسه‌ی حداکثر جایه‌جایی نسبی حاصل از زلزله‌ی محمودآباد در روش استاندارد ۲۸۰۰ و ۲۸۰۰ متوسط جایه‌جایی نسبی، مشاهده می‌شود اختلاف زیادی بهویژه در طبقه‌ی دوم وجود دارد. پراکندگی در نتایج روش استاندارد ۲۸۰۰ تقریباً سه برابر پراکندگی در نتایج روش احتمالاتی است. شکل‌های (۸) و (۹) حداکثر برش پایه حاصل از روش‌های این مقاله و استاندارد ۲۸۰۰ را نشان می‌دهند.



شکل (۸): برش پایه قاب چهار طبقه (روش احتمالاتی)



شکل (۹): برش پایه قاب چهار طبقه (روش استاندارد ۲۸۰۰)

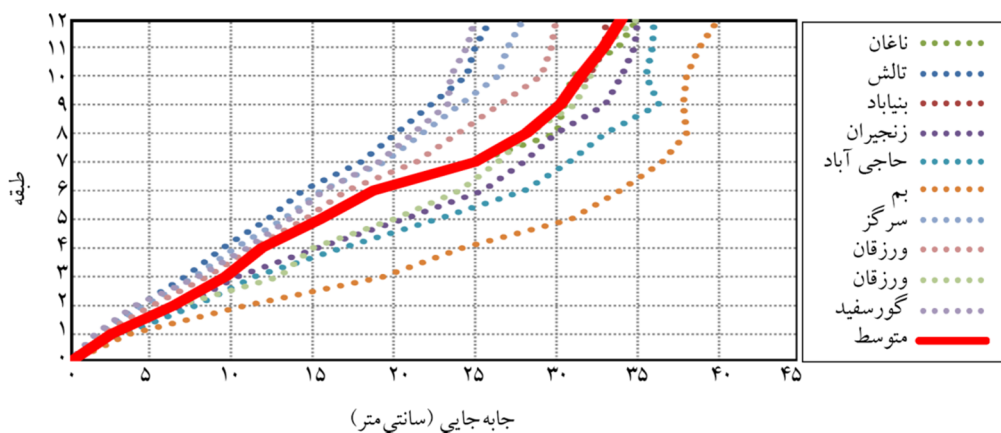
برش پایه متوسط حاصل از روش احتمالاتی ۳۷ درصد بیشتر از روش استاندارد ۲۸۰۰ است که اختلاف قابل توجهی است. در روش استاندارد ۲۸۰۰ حداکثر برش پایه حاصل از زلزله‌ی محمدآباد، اختلاف ۵۵ درصدی با متوسط برش پایه حاصل از این روش دارد که نشان‌دهنده‌ی خطای بالای این روش در تعیین برش پایه است. لیکن در روش احتمالاتی

حداکثر جابه‌جایی نسبی میان طبقه‌ای را نشان می‌دهند. استفاده از روش احتمالاتی باعث کاهش پراکندگی در مقادیر جابه‌جایی نسبی تا دو برابر نسبت به روش استاندارد ۲۸۰۰ شده است. حداکثر جابه‌جایی نسبی در روش استاندارد ۲۸۰۰ حاصل از زلزله بنیاباد است و اختلافی حدود سه برابر با پاسخ متوسط دارد. در روش احتمالاتی بین حداکثر جابه‌جایی نسبی حاصل از زلزله ورزقان و متوسط پاسخ، اختلافی حدود ۵۰ درصد به چشم می‌خورد. شکل‌های (۱۴) و (۱۵) حداکثر برش پایه را نشان می‌دهند.

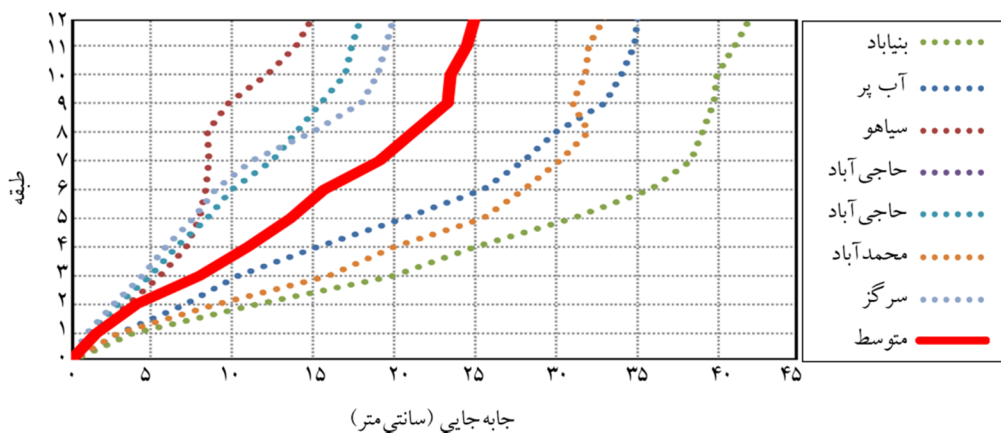
برش پایه‌ی متوسط حاصل از روش احتمالاتی ۲۸ بیشتر از برش پایه متوسط حاصل از روش استاندارد ۲۸۰۰ است. در روش استاندارد ۲۸۰۰ حداکثر برش پایه حاصل از زلزله بنیاباد، اختلاف ۳۱ درصدی با متوسط برش پایه‌ی حاصل از این روش دارد که نشان‌دهنده خطای این روش در تعیین برش پایه است؛

نکرده‌اند و تنها ضرایب مقیاس کمی افزایش یافته‌اند که دلیل آن وابسته نبودن روش ۲۸۰۰ به مشخصات سازه‌ای مثل تناوب و ضریب رفتار و همچنین محاسبه ضریب مقیاس از مقایسه‌ی زلزله طرح و متوسط همهٔ شتاب‌نگاشتها است. شکل‌های (۱۰) و (۱۱) حداکثر جابه‌جایی طبقات را در قاب دوازده طبقه نشان می‌دهند.

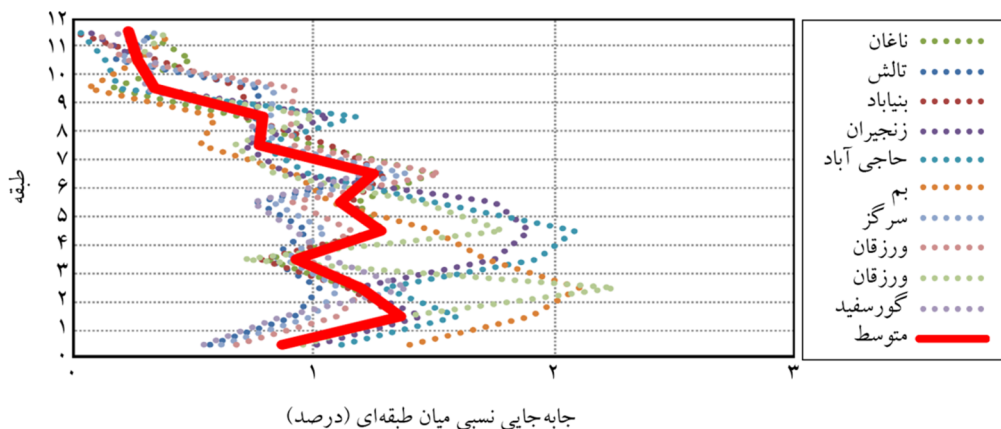
پراکندگی نتایج روش استاندارد ۲۸۰۰ حدود دو برابر پراکندگی نتایج روش احتمالاتی است. همچنین متوسط جابه‌جایی حاصل از روش احتمالاتی ۳۵ درصد بیشتر از روش استاندارد ۲۸۰۰ است و نشان‌دهنده برآوردهای این استاندارد می‌باشد که با توجه به حداکثر جابه‌جایی حاصل از زلزله بنیاباد، اختلاف ۶۸ درصدی بین این زلزله و جابه‌جایی متوسط مشاهده می‌گردد و در مورد روش احتمالاتی اختلاف زلزله بهم و جابه‌جایی متوسط ۱۸ درصد است. شکل‌های (۱۲) و (۱۳)



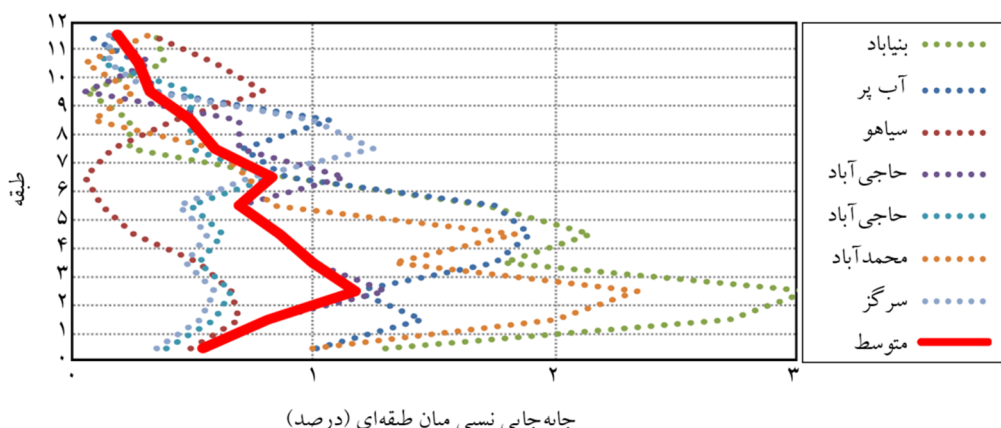
شکل (۱۰): جابه‌جایی قاب دوازده طبقه (روش احتمالاتی)



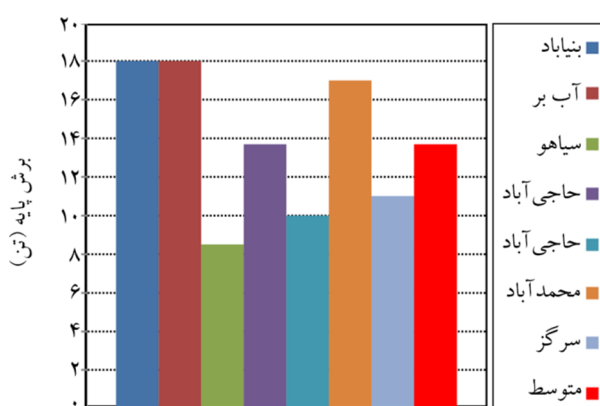
شکل (۱۱): جابه‌جایی قاب دوازده طبقه (روش استاندارد ۲۸۰۰)



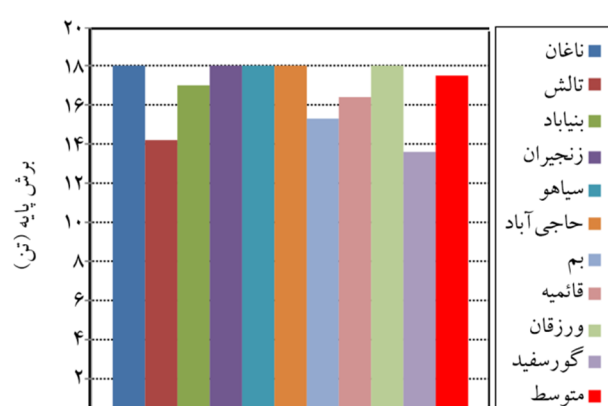
شکل (۱۲): جابه‌جایی نسبی قاب دوازده طبقه (روش احتمالاتی)



شکل (۱۳): جابه‌جایی نسبی قاب دوازده طبقه (روش استاندارد ۲۸۰۰)



شکل (۱۵): بش پایه قاب دوازده طبقه (روش استاندارد ۲۸۰۰)



شکل (۱۶): بش پایه قاب دوازده طبقه (روش احتمالاتی)

۶- جمع‌بندی و نتیجه‌گیری

به طور کلی با بررسی نتایج مشاهده می‌شود که در هر دو قاب کوتاه و بلند، نتایج حاصل از روش احتمالاتی نسبت به روش استاندارد ۲۸۰۰ دارای پراکندگی کمتر و قابلیت اطمینان بیشتری

لیکن در روش احتمالاتی اختلاف بش پایه حاصل از زلزله بم و متوسط بش پایه حدود ۳ درصد است. همچنین مقدار پراکندگی بش پایه در روش استاندارد ۲۸۰۰ حدوداً دو برابر روش احتمالاتی است.

تشکر و قدردانی

از همکاری و مساعدت کارکنان محترم مرکز تحقیقات مسکن و ساختمان و شبکه شتابنگاری ایران که اطلاعات شتابنگاشتهای مورد استفاده در این تحقیق را در اختیار نویسنده‌گان مقاله قرار دادند، صمیمانه قدردانی می‌شود.

مواجع

1. Newmark, N.M. and Hall, W.J. (1973) 'Procedures and Criteria for Earthquake Resistant Design.' In: *Building Practices for Disaster Mitigation, Building Science Series No. 46*, National Bureau of Standards, Washington, D.C., 209-236.
2. Martinez-Rueda, J.E. (1998) Scaling procedure for natural accelerograms based on a system of spectrum intensity scales. *Earthquake Spectra*, **14**(1), 135-152.
3. Shome, N., Cornell, C.A., Bazzurro, P., and Carballo, J.E. (1998) Earthquakes, records, and nonlinear responses. *Earthquake Spectra*, **14**(3), 469-500.
4. Naeim, F., Alimoradi, A., and Pezeshk, S. (2004) Selection and scaling of ground motion time histories for structural design using genetic algorithms. *Earthquake Spectra*, **20**(2), 413-426.
5. Kottke, A. and Rathje, E.M. (2008) A semi-automated procedure for selecting and scaling recorded earthquake motions for dynamic analysis. *Earthquake Spectra*, **24**(4), 911-932.
6. Baker, J.W. (2011) Conditional mean spectrum: tool for ground-motion selection. *Journal of Structural Engineering, ASCE*, **137**(3), 322-331.
7. Kalkan, E., Chopra, A.K. (2011) Modal-pushover-based ground motion scaling procedure. *Journal of Structural Engineering, ASCE*, **137**(3), 298-310.
8. Building and Housing Research Center (2006) Iranian Seismic regulations, Standard 2800, 3rd, Publication 253.
9. Ay, B.Ö. and Akkar, S. (2012) A procedure on ground motion selection and scaling for nonlinear response of simple structural systems. *Earthquake*

است و متوسط پاسخ بیشتری نیز ارائه می‌دهد که در طراحی و ارزیابی لرزه‌ای بسیار مؤثر است. اختلاف زیاد بین پاسخ حداکثر و پاسخ متوسط در روش استاندارد ۲۸۰۰ که ناشی از پراکندگی بالای پاسخ‌ها است، تحلیل نتایج این روش را تا حدودی دشوار می‌سازد. در قاب بلند، به دلیل اثر مودهای ارتعاشی بالا، مقدار پراکندگی در پاسخ‌های حاصل از روش احتمالاتی نیز افزایش می‌یابد لیکن همچنان نسبت به روش استاندارد ۲۸۰۰ برتری نسبی دارد. نتایج کلی به دست آمده از این مقاله به شرح زیر می‌باشند:

1. طیف طرح استاندارد ۲۸۰۰ یک طیف عمومی بوده و انتخاب شتابنگاشتهای بر اساس آن دشوار است، لیکن طیف طرح تعريف شده در این مقاله یک طیف ویژه بوده و منجر به انتخاب دقیق‌تر شتابنگاشتهای می‌گردد.
2. انتخاب شتابنگاشتهای بر اساس آن دشوار است، در حالی که روش احتمالاتی انتخاب را بر اساس حداقل شدن انحراف معیار و با توجه به مشخصات سازه‌ای انجام می‌دهد، درنتیجه انتخاب شتابنگاشتهای بهینه خواهد بود.

3. در استاندارد ۲۸۰۰ ضرایب مقایسه زلزله طرح و متوسط تمام زلزله‌ها به دست می‌آیند، لیکن روش بکار رفته در این مقاله ضرایب مقایسه را به صورت جداگانه برای هر زلزله و با حفظ ماهیت لرزه‌ای محاسبه می‌کند که باعث کاهش پراکندگی در پاسخ‌ها می‌شود.

4. با در نظر گرفتن قاب‌های مورد مطالعه در این تحقیق، متوسط پاسخ حاصل از روش استاندارد ۲۸۰۰ حدود ۴۰ تا ۳۰ درصد کمتر از روش احتمالاتی است و با توجه به اختلاف زیاد پاسخ حداکثر و پاسخ متوسط و پراکندگی بالا در روش استاندارد ۲۸۰۰، استفاده از پاسخ متوسط به درستی گویای اثر واقعی زلزله بر سازه نمی‌باشد.

5. دقت روش احتمالاتی با افزایش مشارکت مودهای ارتعاشی بالا تا حدودی کاهش پیدا می‌کند. لیکن همچنان نسبت به روش استاندارد ۲۸۰۰ برتری نسبی دارد. هر چند ایراد اساسی روش احتمالاتی پیچیدگی نسبی آن در عمل می‌باشد.

Engineering and Structural Dynamics, **41**(12), 1693-1707.

10. ASCE (2005) *Minimum Design Loads For Buildings*. ASCE/SEI 7-05, Reston, VA.
11. Building and Housing Research Center (2015) *Basic Data of Accelerograms in Iran*. Strong Motion Center.
12. Akkar, S. and Bommer, J.J. (2010) Empirical equations for the prediction of PGA, PGV, and spectral accelerations in Europe, the Mediterranean Region, and the Middle East. *Seismological Research Letters*, **81**(2), 195-206.
13. MATLAB (2012) The MathWorks Inc., Natick, MA, USA.
14. SeismoStruct (2010) A computer program for static and dynamic nonlinear analysis of framed structures. Seismosoft.
15. ETABS (2011) Extended 3D analysis of building systems. Computers and Structures, Inc., Berkeley University.
16. UBC (1997) ‘Structural engineering design provisions.’ In: *Uniform Building Code, International Conference of Building Officials*, **2**.

اصطلاحات فنی

- | | |
|---------------------------------------|---------------------------------------|
| Epicenter | ۱- رومر کز |
| Modal Push-Over Analysis (MPA) | ۲- تحلیل بار افزون |
| Probabilistic Seismic Hazard Analysis | ۳- تحلیل خطر لرزه‌ای احتمالاتی (PSHA) |
| Moment Magnitude | ۴- بزرگای گشتاوری |
| Menegotto-Pinto | ۵- منگو تو پیستو |

Optimum Selecting and Scaling of Accelerograms for Nonlinear Time History Analysis of Structures

Hamid Nazari¹ and Jalal Akbari^{2*}

1. M.Sc. Graduate of Structure Engineering, Malayer University, Malayer, Iran
2. Assistant Professor, Department of Civil Engineering, Malayer University, Malayer, Iran,

*Corresponding Author, e-mail: akbari@malayeru.ac.ir

Seismic design and performance assessment of structures require employing earthquake loadings and determining the responses of structures using nonlinear analysis. Among the structural analysis methods, nonlinear time history analysis (NTHA) is the best option for this purpose because it demonstrates realistic behavior of structures against earthquake loadings. However, nonlinear time history analysis of structures involves still some problems related with assembling the suitable set of accelerograms that can properly represent the desired seismic level. Then, in order to perform a nonlinear time history analysis, appropriate record selecting and scaling strategy is required. Because of probabilistic specifications of ground motions, the identification of records to be applied in the evaluation of structural responses is a critical task. Furthermore, record selection directly influences both the median estimation and the dispersion about the median.

The literature for selecting a pre-defined number of recordings within a ground-motion data set is developing consistently due to the recent intention of earthquake or structural engineering practice. Therefore, the characteristics of the selected ground-motion records and scaling strategies are more important for estimation of seismic responses and affecting the accuracy of structural responses are depended to the records selection [1-4].

In this research, a probabilistic based method has been utilized for optimum selecting and scaling of acceleration ground-motion records, which could be led to the reduction of dispersion in nonlinear structural responses. The utilized methodology in this research constrains the scaling to the differences between each individual record and corresponding estimation from the ground-motion prediction equation (GMPE) model. The record selecting and scaling are such that in addition to minimizing the dispersion of nonlinear responses, the median linear responses will be matched to the target spectrum. Furthermore, the applied method will preserve the seismic essence of the selected ground-motion records [4]. In addition, the method emphasizes the significance of preserving the basic seismological features of the ground-motions after being scaled. The final selection of the recording set is accomplished by estimating the standard deviation of all combinations resulting from an available accelerogram data set.

In this study, by investigation of responses of MDOF steel moment resistant frames, the accuracy of the implemented method is verified. Because of the lack of accelerograms data for our country (Iran), the mean spectrum of relatively severe earthquakes has been produced as the design spectrum. The mentioned spectrum has been provided using 11 records (each record with two horizontal components) for soil type-2 with shear wave velocity between 375-750 m/s, minimum PGA equal to 0.3 g and minimum Mw equal to 5.30. In this investigation, selections of ground motions are managed at two stages. At first stage, 20 records with considering the design earthquake are selected. For second stage, among 20 ground motions, 10 records are selected for performing the nonlinear time history analysis.

For nonlinear time history analysis, 4-story and 12-story 2D steel frames have been investigated. Designing of the mentioned frames have been carried-out using ETABS commercial software, and evaluation of seismic behavior of the frames has been performed using SeismoStruct framework [5]. For nonlinear modeling of steel material,

Menegotto-Pinto constitutive modeling has been utilized in the finite-element procedure. The obtained results show that the dispersion of responses using the present study is less than the responses obtained from 2800 [6].

Keywords: Accelerograms; Acceleration Time History; Nonlinear Dynamic Analysis; Selection and Scaling; Response Spectrum; Design Earthquake

References

1. Martinez-Rueda, J.E. (1998) Scaling procedure for natural accelerograms based on a system of spectrum intensity scales. *Earthquake Spectra*, **14**(1), 135-152.
2. Naeim, F., Alimoradi, A., and Pezeshk, S. (2004) Selection and scaling of ground motion time histories for structural design using genetic algorithms. *Earthquake Spectra*, **20**(2), 413-426.
3. Baker, J.W. (2011) Conditional mean spectrum: tool for ground-motion selection. *Journal of Structural Engineering (ASCE)*, **137**(3), 322-331.
4. Ay, BÖ, Akkar, S. (2012) A procedure on ground motion selection and scaling for nonlinear response of simple structural systems. *Earthquake Engineering and Structural Dynamics*, **41**, 1693-1707.
5. SeismoStruct (2010) A computer program for static and dynamic nonlinear analysis of framed Structures. Seismosoft.
6. Building and Housing Research Center (2006) *Iranian Seismic regulations, Standard 2800*. 3rd edition, Publication 253.